

I. Approximation par des polynômes algébriques

1) Formules de Taylor

Théorème 1 (Taylor-Young): Soient I un intervalle de \mathbb{R} ,

$f \in \mathcal{E}^n(I, \mathbb{R}^d)$, et $a \in I$. Alors: $\forall x \in I$,

$$f(x) = \sum_{k=0}^n \frac{f^{(k)}(a)}{k!} (x-a)^k + o((x-a)^n)$$

App 2: $\sin(t) \sim t$; $1 - \cos(t) \sim \frac{t^2}{2}$.

Théorème 3 (Taylor reste intégral): Avec les mêmes hypothèses

et $f \in \mathcal{E}^{n+1}(I, \mathbb{R}^d)$, on a: $\forall x \in I$,

$$f(x) = \sum_{k=0}^n \frac{f^{(k)}(a)}{k!} (x-a)^k - \int_a^x \frac{(x-t)^n}{n!} f^{(n+1)}(t) dt.$$

App 4: $\forall x > 0$, $x - \frac{x^3}{6} \leq \sin(x) \leq x$.

Corollaire 5 (inégalité de Taylor-Lagrange): Soit $f \in \mathcal{E}^{n+1}(I, \mathbb{R}^d)$,

avec $\lambda(I) < +\infty$, on pose: $M_{n+1} = \sup_I \|f^{(n+1)}\|$, et on a:

$$\forall x \in I, \left\| f(x) - \sum_{k=0}^n \frac{f^{(k)}(a)}{k!} (x-a)^k \right\| \leq \frac{M_{n+1} |x-a|^{n+1}}{(n+1)!}$$

App 6: $\forall x \in \mathbb{R}_+$, la série $\sum_{n \geq 1} (\ln(1 + \frac{x}{n}) - \frac{x}{n})$ converge absolument.

Théorème 7 (Taylor-Lagrange): Soit $f \in \mathcal{E}^{n+1}(I, \mathbb{R})$, on a:

$$\forall x \in I, f(x) = \sum_{k=0}^n \frac{f^{(k)}(a)}{k!} (x-a)^k + f^{(n+1)}(\xi), \text{ où } \xi \in]a; x[$$

si $x > a$ et $\xi \in]x; a[$ si $x < a$.

App 8: Evaluation de l'erreur de consistance en analyse numérique

2) Interpolation polynomiale

Prop/déf 9: Soit $(a_j)_{1 \leq j \leq n}$ une famille de complexes $\mathbb{Z} \times \mathbb{Z}$ distincts. Il existe une unique famille $(L_k)_{1 \leq k \leq n} \in \mathcal{C}_{n-1}[X]^n$ telle que:

(i) $\forall k \in \llbracket 1; n \rrbracket$, $\deg(L_k) = n-1$

(ii) $\forall (k, j) \in \llbracket 1; n \rrbracket^2$, $L_k(a_j) = \delta_{k,j}$.

Cette famille est une base de $\mathcal{C}_{n-1}[X]$, appelée base des polynômes interpolateurs de Lagrange associée à $(a_j)_{1 \leq j \leq n}$.

De plus, on a: $\forall k \in \llbracket 1; n \rrbracket$, $L_k(X) = \prod_{\substack{j=1 \\ j \neq k}}^n \frac{X - a_j}{a_k - a_j}$

Corollaire 10: Soient I un intervalle de \mathbb{R} et $(a_j)_{1 \leq j \leq n} \in I^n$

$\mathbb{Z} \times \mathbb{Z}$ distincts. Soit $f: I \rightarrow \mathbb{C}$, alors: $L(X) = \sum_{k=1}^n f(a_k) L_k(X)$

est l'unique élément de $\mathcal{C}_{n-1}[X]$ tel que: $\forall k \in \llbracket 1; n \rrbracket$, $f(a_k) = L(a_k)$.

Prop 11 (phénomène de Runge): Soit $\alpha > 0$, on définit:

$f_\alpha: [-1; 1] \rightarrow \mathbb{R}$. Alors $\exists \alpha_0 > 0$ tel que si $\alpha < \alpha_0$, la suite $x \mapsto \frac{1}{x^2 + \alpha^2}$ de polynômes de Lagrange pour une subdivision uniforme de $[-1; 1]$ ne converge pas simplement vers f_α (voir annexe).

Prop/déf 12: Pour $n \in \mathbb{N}$, il existe un unique polynôme $T_n \in \mathbb{R}[X]$ tel que: $\forall \theta \in \mathbb{R}$, $T_n(\cos(\theta)) = \cos(n\theta)$. C'est le n -ième polynôme de Tchebychev.

Prop 13: On a: $T_0 = 1; T_1 = X$
 $\forall n \in \mathbb{N}, T_{n+2} = 2XT_{n+1} - T_n$.

Prop 14: Soit $n \in \mathbb{N}^*$, le polynôme T_n est scindé à racines simples, et l'ensemble de ses racines est: $\{\cos(\frac{2k+1}{2n}\pi) / k \in \llbracket 0; n-1 \rrbracket\} \subset]-1; 1[$.

App 15: Choisir les points précédents (points de Chebyshev) pour interpoler permet d'ameindir le phénomène de Runge (annexa?)

3) Densité de fonctions polynômiales

Théorème 16 (Bernstein): Soit $f \in \mathcal{C}^0([0,1], \mathbb{C})$, on définit le n -ième polynôme de Bernstein associé à f par:
 $B_n(f) = \sum_{k=0}^n \binom{n}{k} f\left(\frac{k}{n}\right) x^k (1-x)^{n-k}$, pour $n \in \mathbb{N}^*$.

Alors: $\|f - B_n(f)\|_\infty \xrightarrow{n \rightarrow +\infty} 0$.

Exercice 17 (Weierstrass): Soient $(a,b) \in \mathbb{R}^2$ avec $a < b$. La famille $(x^n)_{n \in \mathbb{N}}$ est totale dans $(\mathcal{C}^0([a,b]), \|\cdot\|_\infty)$.

App 18: Soit $f \in \mathcal{C}^0([a,b])$ telle que $\forall n \in \mathbb{N}, \int_a^b x^n f(x) dx = 0$.
 Alors $f = 0$.

Théorème 19 (Müntz): Soit $(\alpha_n)_{n \in \mathbb{N}} \in (\mathbb{R}_+^*)^{\mathbb{N}}$ strictement croissant.

- (i) $(x^{\alpha_n})_{n \in \mathbb{N}}$ est totale dans $(\mathcal{C}^0([a,b]), \|\cdot\|_\infty) \Leftrightarrow \sum_{n=0}^{+\infty} \frac{1}{\alpha_n} = +\infty$.
- (ii) $(x^{\alpha_n})_{n \in \mathbb{N}}$ est totale dans $L^2([a,b]) \Leftrightarrow \sum_{n=0}^{+\infty} \frac{1}{\alpha_n} = +\infty$.

Théorème 20: Soit I un intervalle de \mathbb{R} et $\rho: I \rightarrow \mathbb{R}_+^*$ mesurable telle que: $\exists a > 0, \int_I e^{a|x|} \rho(x) dx < +\infty$. Alors la famille de polynômes orthogonaux associée à ρ est une base hilbertienne de $L^2(I, \rho)$.

- Ex 21: (i) $I = \mathbb{R}_+$ et $\rho: x \mapsto e^{-x} \Rightarrow$ polynômes de Laguerre
 (ii) $I =]-1,1[$ et $\rho: x \mapsto \frac{1}{\sqrt{1-x^2}} \Rightarrow$ polynômes de Chebyshev. (cf: déf 12).

II - Convolution et fonctions très régulières

1) Convolution et support

Déf 22: Soient $f, g: \mathbb{R}^d \rightarrow \mathbb{R}$. On dit que f et g sont convolables si $[y \mapsto f(x-y)g(y)] \in L^1(\mathbb{R}^d)$ pour tout $x \in \mathbb{R}^d$. Dans ce cas, $f * g: x \mapsto \int_{\mathbb{R}^d} f(x-y)g(y) dy$ est appelé produit de convolution de f et g .

Prop 23: Soit $f \in L^1(\mathbb{R}^d)$ et $g \in L^p(\mathbb{R}^d)$ avec $p \in [1, +\infty]$, alors f et g sont convolables et $\|f * g\|_p \leq \|f\|_1 \cdot \|g\|_p$.

Déf 24: Soient Ω un ouvert de \mathbb{R}^d et $f: \Omega \rightarrow \mathbb{C}$. On considère la famille $(\omega_i)_{i \in I}$ des ouverts tels que $f|_{\omega_i} \equiv 0$ presque partout. Alors $\text{supp}(f) := \Omega \setminus (\bigcup_{i \in I} \omega_i)$ (support de f).

Prop 25: Soit f et g sont convolables, alors $\text{supp}(f * g) \subset \overline{\text{supp}(f) + \text{supp}(g)}$.

Mat 26: On note, pour Ω ouvert de \mathbb{R}^d : $\mathcal{E}_c^k(\Omega) = \{f \in \mathcal{E}^k(\Omega) / \text{supp}(f) \text{ est compact}\}$ et $\mathcal{D}(\Omega) = \mathcal{E}_c^\infty(\Omega)$.

- Ex 27: (1) $\mathbb{1}_{[a,b]}$ est à support compact.
 (2) Soit $\phi: \mathbb{R} \rightarrow \mathbb{R}$
 $x \mapsto \begin{cases} |x+1| & \text{si } x \in [-1; 0] \\ 1-x & \text{si } x \in [0; 1] \\ 0 & \text{sinon} \end{cases} \in \mathcal{E}_c^0(\mathbb{R})$.

Lemme 28: (i) Soit $f \in L^1 \cap \mathcal{E}^k(\mathbb{R}^d)$ et $g \in L^p(\mathbb{R}^d)$ où $p \in [1, +\infty]$, alors $f * g \in \mathcal{E}^k(\mathbb{R}^d)$.

(ii) Soit $f \in \mathcal{E}_c^k(\mathbb{R}^d)$ et $g \in L^{\text{loc}}(\mathbb{R}^d)$, f et g sont convolables et $f * g \in \mathcal{E}^k(\mathbb{R}^d)$.
 Et si $\alpha \in \mathbb{N}^d$ est tel que $|\alpha| \leq k$, alors: $\mathcal{D}^\alpha(f * g) = \mathcal{D}^\alpha f * g$.

Prop 29: Soit f et g sont à support compact, alors $f * g$ l'est également. Mais si seulement l'une des deux est à support compact, ce n'est généralement pas vrai.

Ex 30: $f: x \mapsto \frac{1}{1+x^2}$ et $g = \mathbb{1}_{[0,1]}$. Alors $f * g: x \mapsto \text{Arctan}(x) - \text{Arctan}(x-1)$.

2) Résultats de densité

Prop 31: La fonction $\varphi: x \in \mathbb{R}^d \mapsto e^{-\frac{1}{1+\|x\|^2}}$ est dans $\mathcal{D}(\mathbb{R}^d)$ et $\text{supp}(\varphi) = \bar{B}(0; 1)$.

Théorème 32: Il existe une suite $(\varphi_n)_{n \in \mathbb{N}^*} \in \mathcal{D}(\mathbb{R}^d)^{\mathbb{N}}$ telle que:

$$\forall n \in \mathbb{N}^* \mid \text{supp}(\varphi_n) \subset \bar{B}(0; \frac{1}{n})$$

$$\varphi_n \geq 0 \text{ et } \int_{\mathbb{R}^d} \varphi_n(x) dx = 1.$$

DEV 1

Théorème 33: $\mathcal{D}(\mathbb{R}^d)$ est dense dans $L^p(\mathbb{R}^d)$, si $p \in [1; +\infty[$.

Exercice 34: Si Ω est un ouvert de \mathbb{R}^d , $\mathcal{D}(\Omega)$ est dense dans $L^p(\Omega)$

App 35 (lemme de Riemann-Lebesgue): Soient I un intervalle de \mathbb{R} et $f \in L^1(I)$, alors: $\lim_{x \rightarrow \pm\infty} \int_I f(t) e^{-ixt} dt = 0$.

App 36 (inégalité de Hardy): Soient $f \in L^p(\mathbb{R}_+, \mathbb{R}_+)$, où $p \in]1; +\infty[$ et $F: x \mapsto \frac{1}{x} \int_0^x f(t) dt$. Alors $F \in L^p(\mathbb{R}_+, \mathbb{R}_+)$ et $\|F\|_p \leq \frac{p}{p-1} \|f\|_p$.

III - Approximation par des polynômes trigonométriques

Déf 37: Soit $f \in L^1_{2\pi}(\mathbb{R}, \mathbb{C})$ (L^1 et 2π -périodique). Les coefficients de Fourier de f sont: $\forall n \in \mathbb{Z}, c_n(f) = \frac{1}{2\pi} \int_{-\pi}^{\pi} f(t) e^{-int} dt$.

Ex 38: ① Si $f = \sin$, on a: $|c_1(f)| = \frac{1}{2i}; c_{-1}(f) = -\frac{1}{2i}$
 $\forall n \notin \{-1; 1\}, c_n(f) = 0$.

② Soit f la fonction 2π -périodique telle que $\forall x \in [-\pi; \pi], f(x) = x^2$. Alors $c_0(f) = \frac{\pi^2}{3}$ et $\forall n \in \mathbb{Z}^*, c_n(f) = \frac{2(-1)^n}{n^2}$.

Déf 39: ① Noyau de Dirichlet d'ordre $n \in \mathbb{N}$: $D_n(t) = \sum_{k=-n}^n e^{ikt}$.

② Noyau de Fejér d'ordre $N \in \mathbb{N}^*$: $K_N(t) = \frac{1}{N} \sum_{n=0}^{N-1} D_n(t)$.

Pg 40: Si $f \in L^1_{2\pi}(\mathbb{R}, \mathbb{C})$, alors $\forall n \in \mathbb{N}, D_n * f(t) = \sum_{k=-n}^n e^{ikt} c_k(f)$

Prop 41: $\forall t \in \mathbb{R} \setminus 2\pi\mathbb{Z}, D_n(t) = \frac{\sin((n+\frac{1}{2})t)}{\sin(t/2)}$ et $K_N(t) = \frac{\sin^2(\frac{Nt}{2})}{N \sin^2(t/2)}$

Prop 42: ① $\forall n \in \mathbb{N}, \frac{1}{2\pi} \int_{-\pi}^{\pi} D_n(t) dt = 1$.

② $\forall N \in \mathbb{N}^*, \frac{1}{2\pi} \int_{-\pi}^{\pi} K_N(t) dt = 1$.

Théorème 43 (Fejér): Si $f \in \mathcal{E}_{2\pi}^0(\mathbb{R}, \mathbb{C})$, alors $\lim_{N \rightarrow +\infty} \|K_N * f - f\|_{\infty} = 0$.

Exercice 44: Si $f \in \mathcal{E}_{2\pi}^0(\mathbb{R}, \mathbb{C})$ et sa série de Fourier $\sum_{n \in \mathbb{Z}} c_n(f) e^{int}$ converge simplement. Alors: $\sum_{n=-\infty}^{+\infty} c_n(f) e^{int} = f(t)$, pour $t \in \mathbb{R}$.

Théorème 45 (Fejér-Lebesgue): Si $f \in L^p_{2\pi}(\mathbb{R}, \mathbb{C})$, où $p \in [1; +\infty[$, alors: $\|K_N * f - f\|_p \xrightarrow{N \rightarrow +\infty} 0$.

App 46: $(e^{int})_{n \in \mathbb{Z}}$ est une base hilbertienne de $L^2_{2\pi}(\mathbb{R}, \mathbb{C})$ muni du produit scalaire: $\langle f, g \rangle = \frac{1}{2\pi} \int_{-\pi}^{\pi} \overline{f(t)} g(t) dt$.

Théorème 47 (Dirichlet): ① Soient $f \in L^1_{2\pi}(\mathbb{R}, \mathbb{C})$ et $x \in [-\pi; \pi]$ tels que f admet des limites à gauche et à droite en x , notées $f(x^-)$ et $f(x^+)$. Si les taux d'accroissement $[\frac{1}{t} (f(x+t) - f(x^+))]$ et $[\frac{1}{t} (f(x-t) - f(x^-))]$ sont bornés au voisinage de 0, alors:

$$\lim_{n \rightarrow +\infty} D_n * f(x) = \frac{f(x^+) + f(x^-)}{2}$$

② Si $f \in \mathcal{E}_{2\pi}^0 \cap \mathcal{E}_{pm}^1(\mathbb{R}, \mathbb{C})$, alors $\lim_{n \rightarrow +\infty} \|D_n * f - f\|_{\infty} = 0$.

App 48: Calcul des $\zeta(2p)$ et $\eta(2p)$ pour $p \in \mathbb{N}^*$ petit (avec $f: x \mapsto x^{2p}$).

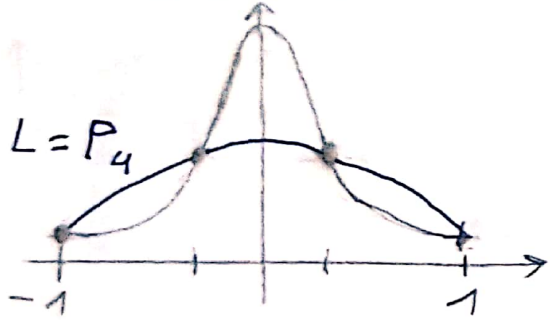
Pg 49 (phénomène de Gibbs): Si f présente des discontinuités, on perd la convergence uniforme (ex: réseaux en annexe 3).

DEV 2

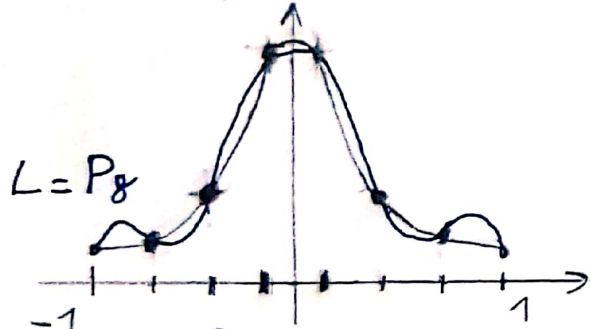
Annexe:

① Phénomène de Runge

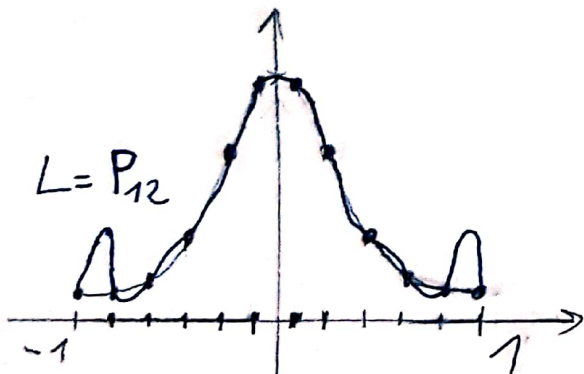
$\alpha^2 = 0.1.$



4 points



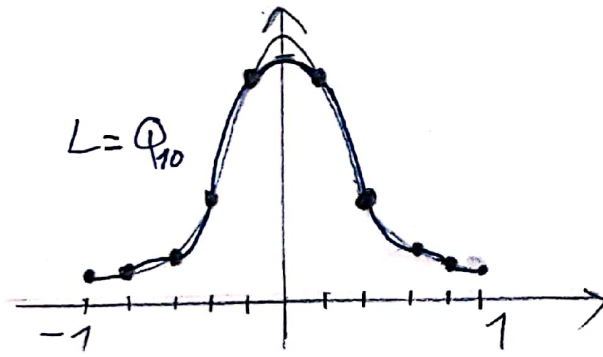
8 points



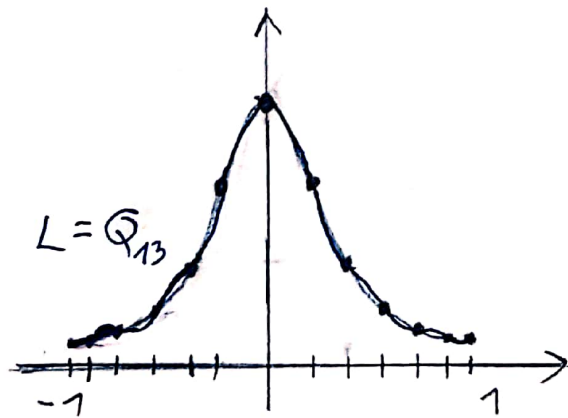
12 points

② Interpolation avec les pts de Tchebychev

$\alpha^2 = 0.1.$



10 points



13 points

③ Phénomène de Gibbs

Approximation d'une fonction créneau par les sommes partielles S_N de sa série de Fourier.

